Раздел 10. Четырехканальный приемопередатчик дифференциальных сигналов

Содержание

10.1.	Назначение	
10.2.	Общие сведения	
	10.2.1. Изображение и обозначение микросхемы	
	10.2.2. Назначение выводов	
	10.2.3. Упрощенная структура микросхемы	
10.3.	Параметры микросхемы	
	10.3.1. Номинальные значения электрических параметров	
	10.3.2. Динамические параметры	
	10.3.3. Параметры гистерезиса приемников	
	10.3.4. Предельные режимы эксплуатации	
10.4.	Стойкость к воздействию внешних факторов	
	10.4.1. Механические факторы	
	10.4.2. Климатические факторы	
	10.4.3. Специальные факторы и надежность	
10.5.	Корпус	

10.1. Назначение

Микросхема 5529TP015-803 (далее по тексту «микросхема») представляет собой четыре канала приема-передачи дифференциальных сигналов. Каждый канал содержит связку из приемника (высокочувствительного аналогового компаратора) и LVDS передатчика. Приемник имеет возможность регулировки гистерезиса по входным дифференциальным входам.

10.2. Общие сведения

Микросхема разрешена для применения в специальной аппаратуре и обладает следующими возможностями:

- Напряжение питания от 2,7 В до 3,63 В.
- 4 независимых канала с приемниками и передатчиками дифференциальных сигналов.
- Общая для всех каналов настройка гистерезиса приемника.
- Радиационностойкая технология.

10.2.1. Изображение и обозначение микросхемы

На рис. 10-1 (стр. 10-2) приведено рекомендуемое условное графическое изображение микросхемы.

03			27
	IP1	OP1	
04	IN1	ON1	26
05	IP2	OP2	25
06	—		24
	IN2	ON2	
07	IP3	OP3	23
80	_		22
09	IN3	ON3	21
	IP4	OP4	
10	IN4	ON4	20
12			01
	A0	VCCO	
13	A1	GNDI	02
17	A2	VCCI	14
18			15
	A3	GNDO	
11	TEST1	vcco	16
19			28
	TEST2	GNDO	<u>_</u> _

Рис. 10-1. Условное графическое изображение микросхемы

Обозначение микросхемы при заказе: 5529TP015-803 AEHB.431260.290 ТУ группа исполнения А или Б, корпус МК 5123.28-1.01 ТАСФ.301176.014 ТУ, карта заказа ГАВЛ.431268.803Д16.

10.2.2. Назначение выводов

В табл. 10-1 (стр. 10-2) приведено краткое описание выводов микросхемы.

Таблица 10-1. Описание выводов микросхемы (часть 1 из 2)

Номер	Имя	Тип ⁽¹⁾	Буфер ⁽¹⁾	Описание	
1	VCCO	Р	_	Питание выходных драйверов.	
2	GNDI	Р	_	«Земля» (Общий 0 В) входных компараторов.	
3	IP1	IM		Неинвертирующий вход компаратора 1-го канала.	
4	IN1	IM		Инвертирующий вход компаратора 1-го канала.	
5	IP2	IM		Неинвертирующий вход компаратора 2-го канала.	
6	IN2	IM		Инвертирующий вход компаратора 2-го канала.	
7	IP3	IM		Неинвертирующий вход компаратора 3-го канала.	
8	IN3	IM		Инвертирующий вход компаратора 3-го канала.	

Таблица 10-1. Описание выводов микросхемы (часть 2 из 2)

Номер	Имя	Тип ⁽¹⁾	Буфер ⁽¹⁾	Описание
9	IP4	IM		Неинвертирующий вход компаратора 4-го канала.
10	IN4	IM		Инвертирующий вход компаратора 4-го канала.
11	TEST1	_		Вход выбора режима (высокий уровень— тестовый режим, низкий уровень— рабочий режим.
12	A0	IM	TS1TTL	Вход регистра управления гистерезисом.
13	A1	IM	TS1TTL	Вход регистра управления гистерезисом.
14	VCCI	Р	_	Питание входных компараторов.
15	GNDO	Р	_	«Земля» (Общий 0 В) выходных драйверов.
16	VCCO	Р	_	Питание выходных драйверов.
17	A2	IM	TS1TTL	Вход регистра управления гистерезисом.
18	А3	IM	TS1TTL	Вход регистра управления гистерезисом.
19	TEST2	I		Вход выбора режима (высокий уровень— тестовый режим, низкий уровень— рабочий режим.
20	ON4	OM		Инвертирующий выход драйвера 4-го канала.
21	OP4	OM		Неинвертирующий выход драйвера 4-го канала.
22	ON3	OM		Инвертирующий выход драйвера 3-го канала.
23	OP3	OM		Неинвертирующий выход драйвера 3-го канала.
24	ON2	OM		Инвертирующий выход драйвера 2-го канала.
25	OP2	OM		Неинвертирующий выход драйвера 2-го канала.
26	ON1	OM		Инвертирующий выход драйвера 1-го канала.
27	OP1	OM		Неинвертирующий выход драйвера 1-го канала.
28	GNDO	Р	_	«Земля» (Общий 0 В) выходных драйверов.

Примечания к таблице.

- 1. Условные обозначения типа вывода: Р питание; І цифровой вход; ІМ цифровой вход, который можно использовать в режиме «холодного резерва»; ОМ цифровой выход, который можно использовать в режиме «холодного резерва»; TS1TTL буфер типа триггера Шмитта с характеристиками (табл. 10-5, стр. 10-7).
- 2. Тестовые режимы используются исключительно на этапах производственной проверки и при эксплуатации запрещены. На выводы TEST1 и TEST2 в процессе эксплуатации следует подать низкий уровень или Общий 0 В.
- 3. Входы компараторов неиспользуемых каналов допускается подключать к выводу GNDI, что не влияет на ток потребления микросхемы.

10.2.3. Упрощенная структура микросхемы

Упрощенная структура микросхемы приведена на рис. 10-2 (стр. 10-4).

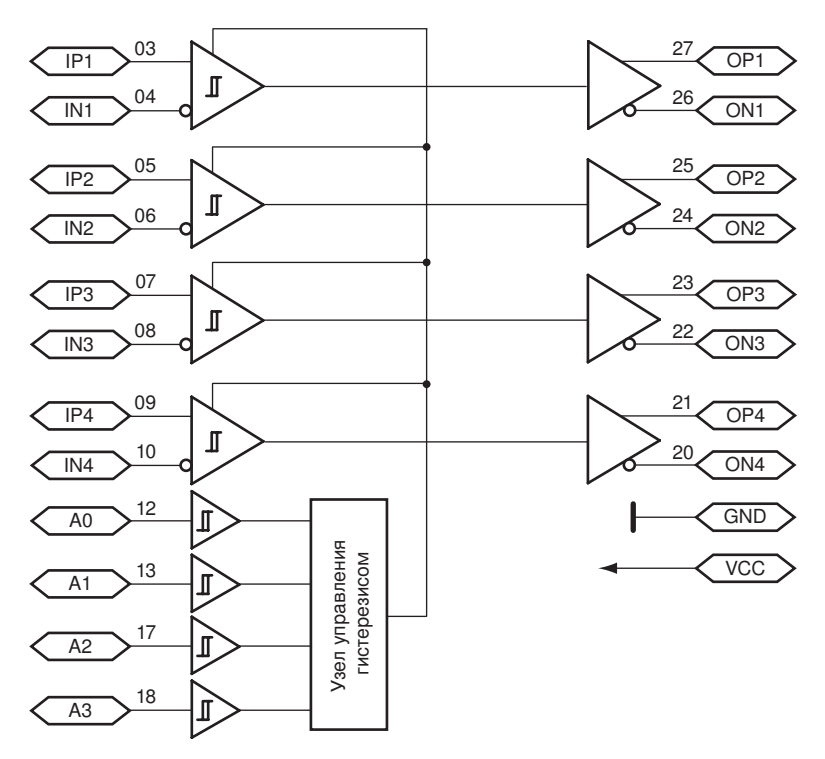
В состав микросхемы входят следующие основные узлы:

- 4 настраиваемых приемника дифференциального сигнала.
- 4 LVDS передатчика.
- Узел настройки гистерезиса приемников.

10.3. Параметры микросхемы

Номинальные значения электрических параметров

Номинальные значения электрических параметров микросхемы представлены в табл. 10-2 (стр. 10-4).



Примечание к рисунку.

- 1. Выводы питания и земли показаны условно без нумерации.
- 2. Триггеры Шмитта с входами А3...А0 имеют фиксированные пороги срабатывания (табл. 10-5, стр. 10-7).

Рис. 10-2. Внутренняя структура микросхемы

Таблица 10-2. Номинальные значения электрических параметров (часть 1 из 2)

Наименование параметра, единица и режим	Символ	Норма па	раметра ⁽¹⁾	Температура
измерения			не более	среды ⁽²⁾ , °С
Pulvoriuse Harrawellike Hillerore Vinepula Ha Pulporev	11	833	1470	+25±10
Выходное напряжение низкого уровня на выводах ON4ON1 и OP4OP1, мВ (при U _{CC} =3,3В, I _{OL} =3,5 мА)	U _{OL1} , U _{OL2}	797	1575	-60 +85
Выходное напряжение высокого уровня на выводах		778	1822	+25±10
ON4ON1 и OP4OP1, мВ (при U _{CC} =3,3В, I _{OH} =3,5 мА)	U _{OH1} , U _{OH2}	605	1822	-60 +85
Выходное напряжение высокого уровня на выводах ON4ON1 и OP4OP1, мВ (при U _{CC} =2,0B, I _{OH} =0,1 мА)	U _{OH3}	800	2000	+25±10 -60 +85
Выходное напряжение высокого уровня на выводах ON4ON1 и OP4OP1, мВ (при U _{CC} =3,63В, I _{OH} =0,1 мА)	U _{OH4}	2200	3630	+25±10 -60 +85
Выходное дифференциальное напряжение передатчика, мВ (при U_{CC} =3,3B ±10%, R_L =100 Oм ±10%)	Uoa1, Uoa0	260	440	+25±10 -60 +85
Выходное синфазное напряжение передатчика, В (при $U_{\rm CC}$ =3,3B ±10%)		1,00	1,40	+25±10 -60 +85

Таблица 10-2. Номинальные значения электрических параметров (часть 2 из 2)

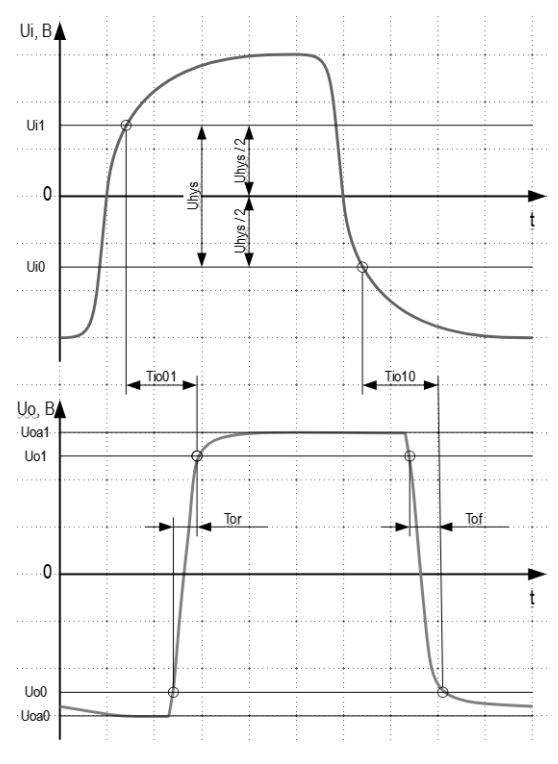
Наименование параметра, единица и режим	Символ	Норма па	раметра ⁽¹⁾	Температура
измерения	Символ	не менее	не более	среды ⁽²⁾ , °С
Ток потребления динамический одного канала, мА (при U_{CC} =3,63B, R_L =100 Ом ±10%, C_L =10 пФ ±10%, F =200 Мбит/с)	I _{occ}	_	8	+25±10 -60 +85
Токи утечки низкого и высокого уровней на входе, мкА		-1,0	1,0	+25±10
(при U _{CC} =3,63B, U _{IH} =U _{CC} , U _{IL} =0)	I _{ILL} ,I _{ILH}	-3,0	3,0	-60 +85
Ток доопределения внешнего вывода до высокого уровня, мА (при U_{CC} =3,63B, U_{IH} = U_{CC} , U_{IL} =0B)	I _{RH}	0,01	2,0	+25±10 -60 +85
Ток доопределения внешнего вывода до низкого уровня, мА (при U_{CC} =3,63B, U_{IH} = U_{CC} , U_{IL} =0B)	I _{RL}	0,01	2,0	+25±10 -60 +85
			7	+25±10
Входная емкость, пФ	C _I	_	10	-60 +85
			7	+25±10
Выходная емкость, пФ	C _O	_	10	-60 +85
			7	+25±10
Емкость входа/выхода, пФ	C _{I/O}	_	10	-60 +85
Электростатический потенциал, В.	U _{ESD}	_	1000	+25 ±10 -60 +85

Примечания к таблице.

- 1. Значения могут быть уточнены в карте заказа.
- 2. Погрешность задания температуры ±3°C, если не указано иное.

10.3.2. Динамические параметры

Временная диаграмма переключения для одного канала микросхемы и его динамические параметры приведены на рис. 10-3 (стр. 10-6).



Примечания к рисунку.

- 1. Дифференциальное напряжение на входе приемника Ui=Uip—Uin, где Uip напряжение на неинвертирующем входе компаратора относительно вывода GNDI, а Uin аналогичное напряжение на его инвертирующем входе.
- 2. Ui1 и Ui0 пороговые значения Ui при переключения выходного напряжения передатчика Uo из 0 в 1 и из 1 в 0 соответсвенно, которые определяются настраиваемым значением гистерезиса.
- 3. Дифференциальное напряжения на выходе передатчика Uo=Uop-Uon, где Uop и Uon—напряжения на неинвертирующем и инвертирующем выводах передатчика. Uo0=0,8*Uoa0, Uo1=0,8*Uoa1.
- Тіо01 и Тіо10 задержки распространения сигнала от входа приемника до выхода передатчика при переключении из 0 в 1 и из 1 в 0 соответственно.
- Тог и Тоf фронт и спад сигнала на выходе передатчика.
- 6. Tio=(Tio01+Tio10)/2 средняя задержка распространения сигнала в канале.
- 7. Tio_ub=|Tio01-Tio10| разбаланс задержек в канале при разных переключениях.
- Тіо_skew[nm]=|Tio[n]-Tio[m]|, где n=1...4, m=1...4 и n!=m — перекос между задержками в разных каналах
- 9. Tio_skew наибольший перекос из всех Tio_skew[nm].

Рис. 10-3. Временные диаграммы канала

Критичными характеристиками микросхемы являются: разбаланс задержек распространения Tio_ub и наибольший перекос задержек распространения Tio_skew. По этим параметрам микросхемы делятся на 2 группы исполнения, что указывается в документации и на корпусе микросхемы (рис. 10-4, стр. 10-10). При напряжении питания U_{CC}=2,97 В, температуре среды +55°C, Ui<50 мВ и нагрузке между выходами передатчика 100 Ом эти параметры должны соответствовать следующим ограничениям:

- для группы A Tio ub < 0,1 нс и Tio skew < 0,05 нс;
- для группы Б 0,1 нс < Tio ub < 1,0 нс и 0,05 нс < Tio skew < 1,0 нс.

Номинальные динамические параметры микросхемы приведены в табл. 10-3.

Таблица 10-3. Номинальные значения динамических параметров (часть 1 из 2)

Наименование параметра, единица и режим	Символ	Норма пар		
измерения	CHIMBOIL	не менее	не более	среды ⁽⁴⁾ , °С
Задержка распространения сигнала от входа приемника до выходе передатчика, нс (при U_{CC} =3,3B ±10%, R_L =100 Om ±10%, C_L =10 пФ ±10%,)	Tio01, Tio10	-	5,00	+25±10 -60 +85
Средняя задержка распространения сигнала от входа приемника до выходе передатчика, нс (при U_{CC} =3,3B $\pm 10\%$, R_L =100 Om $\pm 10\%$, C_L =10 $\Pi\Phi$ $\pm 10\%$,)	Tio	_	5,00	+25±10 -60 +85
Разбаланс задержек распространения сигнала от входа приемника до выходе передатчика, нс (при U_{CC} =3,3B $\pm 10\%$, R_L =100 Om $\pm 10\%$, C_L =10 пФ $\pm 10\%$,)	Tio_ub	_	0,10	+25±10 -60 +85

Таблица 10-3. Номинальные значения динамических параметров (часть 2 из 2)

Наименование параметра, единица и режим	Символ	Норма пар	раметра ⁽¹⁾	
измерения	CHMBOIL	не менее	не более	среды ⁽⁴⁾ , °С
Нибольший перекос между задержками распространения сигнала от входа приемника до выходе передатчика в разных каналах, нс (при U_{CC} =3,3B ±10%, R_L =100 Oм ±10%, C_L =10 пФ ±10%,)	Tio_skew		0,05	+25±10 -60 +85
Длительность фронта и спада сигнала выходе передатчика, нс (при U_{CC} =3,3B ±10%, R_L =100 Oм ±10%, C_L =10 пФ ±10%,)	Tor, Tof		1,50	+25±10 -60 +85

Примечания к таблице.

- 1. Значения могут быть уточнены в карте заказа.
- 2. В карте заказа могут устанавливаться другие динамические параметры с указанием метода контроля.
- 3. С учетом паразитных емкостей.
- 4. Погрешность задания температуры ±3°C, если не указано иное.

10.3.3. Параметры гистерезиса приемников

Настройка гистерезиса приемников производится заданием статических цифровых уровней на входах АЗ...АО, как показано в табл. 10-4.

Таблица 10-4. Зависимость гистерезиса приемника от кода на входах АЗ...АО

Процицију иод на рустау А 2 — А 0	Значение гисте	резиса Uhys, мВ
Двоичный код на входах АЗА0	Напряжение питания 2,7 В	Напряжение питания 3,6 В
0000	22	29
0001	21	28
0010	20	26
0011	19	25
0100	18	24
0101	17	22
0110	16	21
0111	15	19
1000	15	18
1001	14	17
1010	13	16
1011	12	14
1100	10	13
1101	9	11
1110	8	10
1111	7	9

На входах A3...A0 используются триггеры Шмитта типа TS1TTL с фиксированными порогами срабатывания, зависящими только от напряжения питания. Параметры триггеров приведены в табл. 10-5

Таблица 10-5. Параметры триггеров Шмитта типа TS1TTL

Наименование параметра и единица измерения	Значение			
Напряжение питания, В	2,7 3,0 3,3		3,63	
Верхний порог срабатывания (переход из 0 в 1), В	1,49	1,59	1,73	1,85
Нижний порого срабатывания (переход из 1 в 0), В	1,24	1,38	1,52	1,67
Величина гистерезиса, В	0,25	0,21	0,21	0,18
Задержка фронта (переход из 0 в 1), пс	570			
Задержка спада (переход из 1 в 0), пс	541			

10.3.4. Предельные режимы эксплуатации

Предельные и предельно допустимые режимы эксплуатации — это внешние по отношению к микросхеме электрические параметры, в пределах значений которых допускается эксплуатация микросхемы. Превышение предельных режимов может привести к отказу микросхемы (табл. 10-6).

Таблица 10-6. Предельно допустимые и предельные режимы эксплуатации

		Значения параметров					
Наименование параметра и единица измерения	Символ	преде допустимы		предельный режим			
		не менее	не более	не менее	не более		
Напряжение питания, В	U _{CC}	2,7	3,63	-0,4	4,0		
Входное напряжение низкого уровня, В	U _{IL}	_	0,4	-0,4			
Входное напряжение высокого уровня, В	U _{IH}	U _{CC} -0,4	U _{CC}	_	$U_{\rm CC}^{+0,4}$ (HO < 4,0)		
Выходной ток низкого уровня, мА	I _{OL}	_	12,0	_	24,0		
Выходной ток высокого уровня, мА	I _{OH}	_	12,0	_	24,0		
Ёмкость нагрузки, пФ	C _L	_	150	_	250		

10.4. Стойкость к воздействию внешних факторов

10.4.1. Механические факторы

В табл. 10-7 приведены характеристики стойкости микросхем серии 5529 к внешним механическим воздействиям.

Таблица 10-7. Стойкость к внешним механическим воздействиям

Ростойотрио	Характеристики и единицы	Значения параметров		
Воздействие	измерения	не менее	не более	
Синусоидальные вибрации	Диапазон частот, Гц	1	5000	
Синусоидальные виорации	Амплитуда ускорения, м/с² (g)	_	400(40)	
Удары одиночного действия в любом	Амплитуда пикового ударного ускорения, м/c ² (g)		15000(1500)	
направлении	Длительность действия ударного ускорения, мс	0,1	2,0	
Удары многократного	Амплитуда пикового ударного ускорения, м/c ² (g)		1500(150)	
действия в любом направлении	Длительность действия ударного ускорения, мс	1	5	
Линейное ускорение	Амплитуда ускорения, м/с ² (g)		5000(500)	
Aures and and and a	Диапазон частот, Гц	50	10000	
Акустический шум	Уровень звукового давления, дБ	_	170	

10.4.2. Климатические факторы

В табл. 10-8 приведены характеристики стойкости микросхем серии 5529 к внешним климатическим воздействиям. Требования по устойчивости к воздействию статической пыли не предъявляются.

Таблица 10-8. Стойкость к климатическим воздействиям (часть 1 из 2)

Наименование параметра, единица измерения	Значения параметров	
	не менее	не более
Повышенное рабочее давление, атм	_	3

Таблица 10-8. Стойкость к климатическим воздействиям (часть 2 из 2)

Hausananan anasana an anasanan an	Значения параметров	
Наименование параметра, единица измерения	не менее	не более
Повышенная рабочая температура среды, °С	_	+85
Повышенная предельная температура среды, °С	_	+125
Пониженная рабочая температура среды, °С	-60	_
Пониженная предельная температура среды, °С	-60	_
Изменение температуры среды в пределах, °С	-60	+125
Повышенная относительная влажность, % (при температуре +35°C)	_	98

10.4.3. Специальные факторы и надежность

В табл. 10-8 приведены характеристики стойкости микросхемы к внешним специальным воздействиям.

Таблица 10-9. Стойкость к внешним специальным воздействиям

Виды специальных факторов	Характеристики	Значения характеристик
7.И	7.И ₁	5Y _C
	7.И ₆	0,5•5У _C
	7.И ₇	0,2•5У _C
	7.И ₈	4Y _C
7.C	7.C ₁	5Y _C
7.0	7.C ₄	1,5•5У _C
	7.K ₁	2,6•1K
7.K	7.K ₄	2,5•1K
	$(7.K_1 + 7.K_4)$	2,5•1K
	7.K ₁₁ (7.K ₁₂)	64 МэВ•см ² /мг по катастрофическим отказам и тиристорному эффекту

Примечание к таблице. Требования по стойкости к воздействию специальных факторов с характеристиками по ГОСТ РВ 20.39.414.2, а также параметры-критерии годности к воздействию специальных факторов, для микросхем, содержащих аналоговые блоки, могут быть указаны в картах заказа.

В табл. 10-10 приведены характеристики надежности.

Таблица 10-10. Характеристики надежности

Vanautanuatuua a Ruuulla u vananua uahanaluus	Значения параметров	
Характеристика, единица и условия измерения	не менее	не более
Минимальная наработка, час (при температуре среды не более +65+5 °C)	140000	_
Минимальная наработка в облегченных режимах, час (при U_{CC} =3B±5%; I_{OL} , I_{OH} < 50% от величин, указанных в)	200000	_

10.5. Корпус

Микросхема изготавливается в керамическом корпусе типа МК 5123.28-1.01. Чертеж корпуса приведен на рис. 10-4.

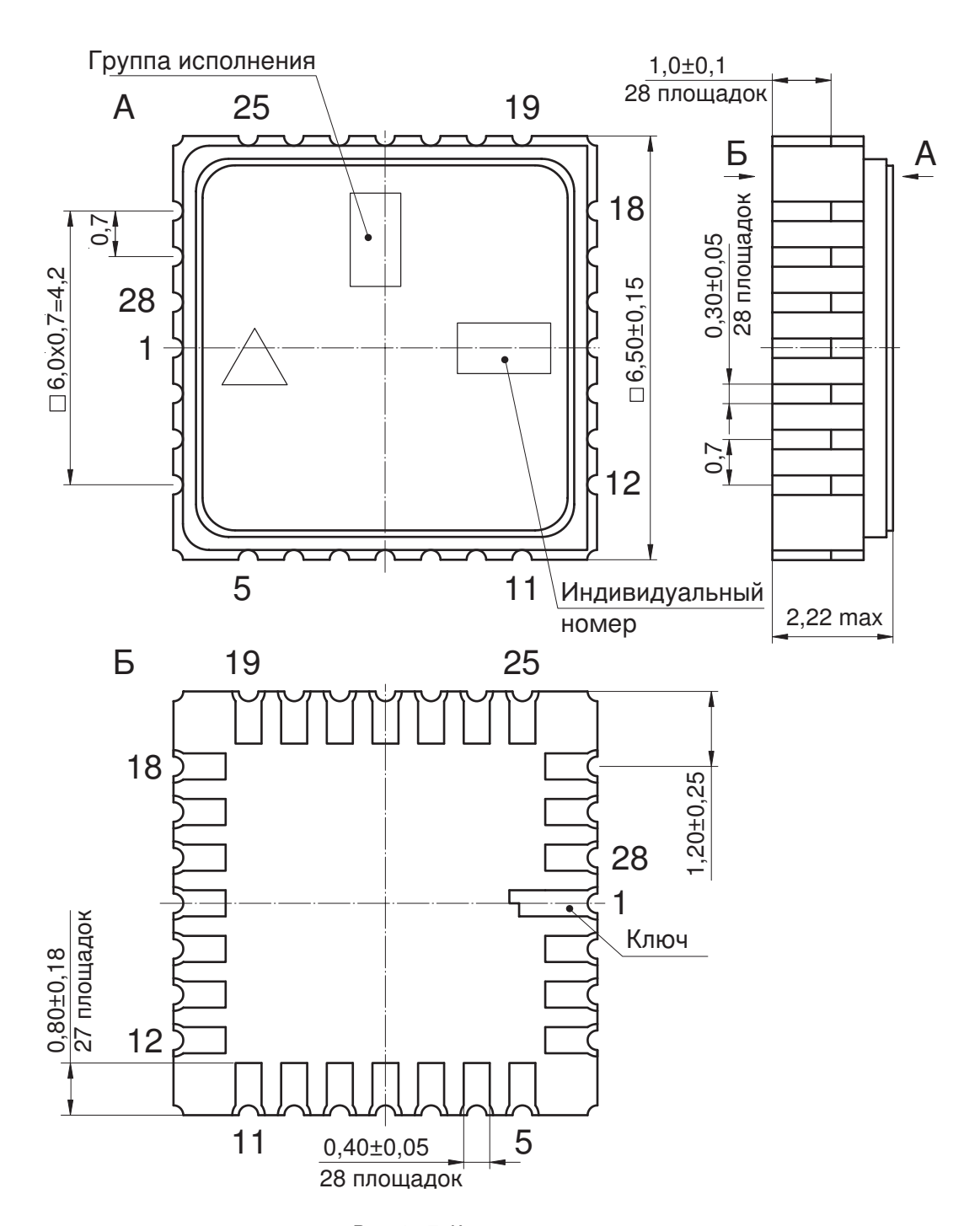


Рис. 10-7. Корпус микросхемы